

Polygonale Netze

Einführung in die Computergrafik

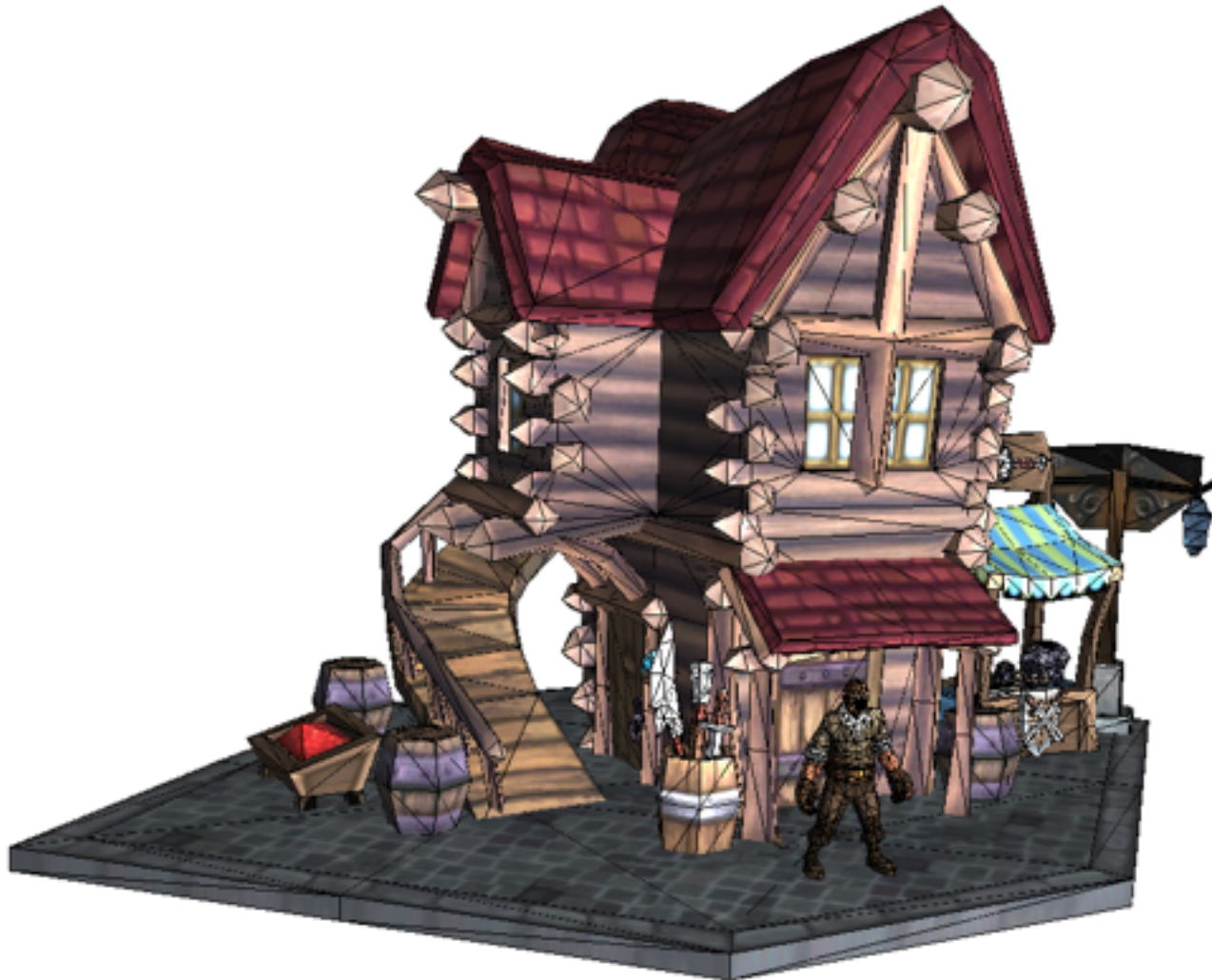
Wiederholung

- Organisation
- Der 3D Raum
- Dreiecksnetze
- OpenGL
- Framework für das Praktikum
- Szenengraph

Ausblick



Worum gehts?

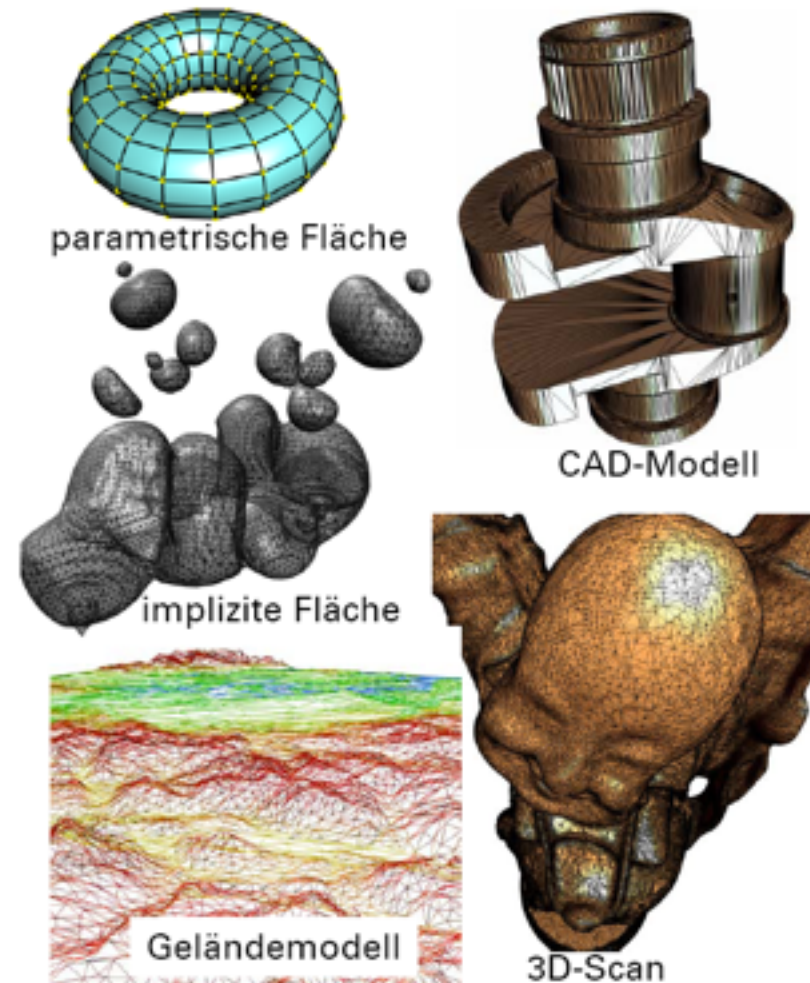


Agenda

- Einführung
- Normalen
- Volumen
- Glättung
- Nachbarschafts-Datenstrukturen
- Triangulierung von Polygonen
- Subdivision
- Vereinfachung
- Zusammenfassung

Einführung

- Tessellierung parametrischer Oberflächen
- Tessellierung von CAD-Modellen aus Modelliertools wie AutoCAD, Maya, 3D Studio Max, Cinema 4D, ...
- Modellierung mit wenigen Polygonen (low-poly)
- Tessellierung impliziter Flächen
- Triangulierung von Punktwolken in der Ebene, wie z.B. bei Geländemodellen
- Triangulierung von Punktwolken aus 3D Scannern

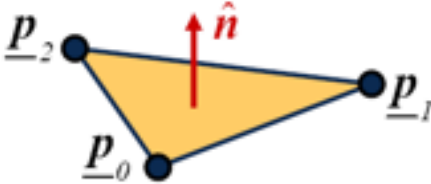




Normalen

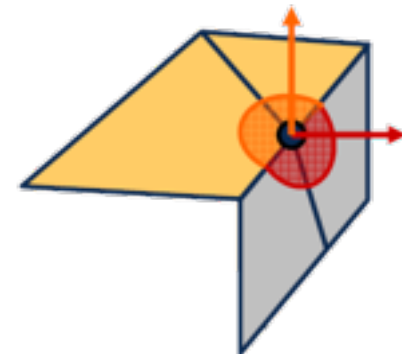
Berechnung geometrischer Größen

- Facettennormale
 - im Falle von Dreiecken aus Kreuzprodukt


$$\begin{aligned}\hat{n} &\propto (\underline{p}_1 - \underline{p}_0) \times (\underline{p}_2 - \underline{p}_0) \\ &= \underline{p}_0 \times \underline{p}_1 + \underline{p}_1 \times \underline{p}_2 + \underline{p}_2 \times \underline{p}_0\end{aligned}$$

- im Falle von Polygonen kann zweite Gleichung verallgemeinert werden:

$$\hat{n} \propto \underline{p}_0 \times \underline{p}_1 + \dots + \underline{p}_{d-1} \times \underline{p}_0$$

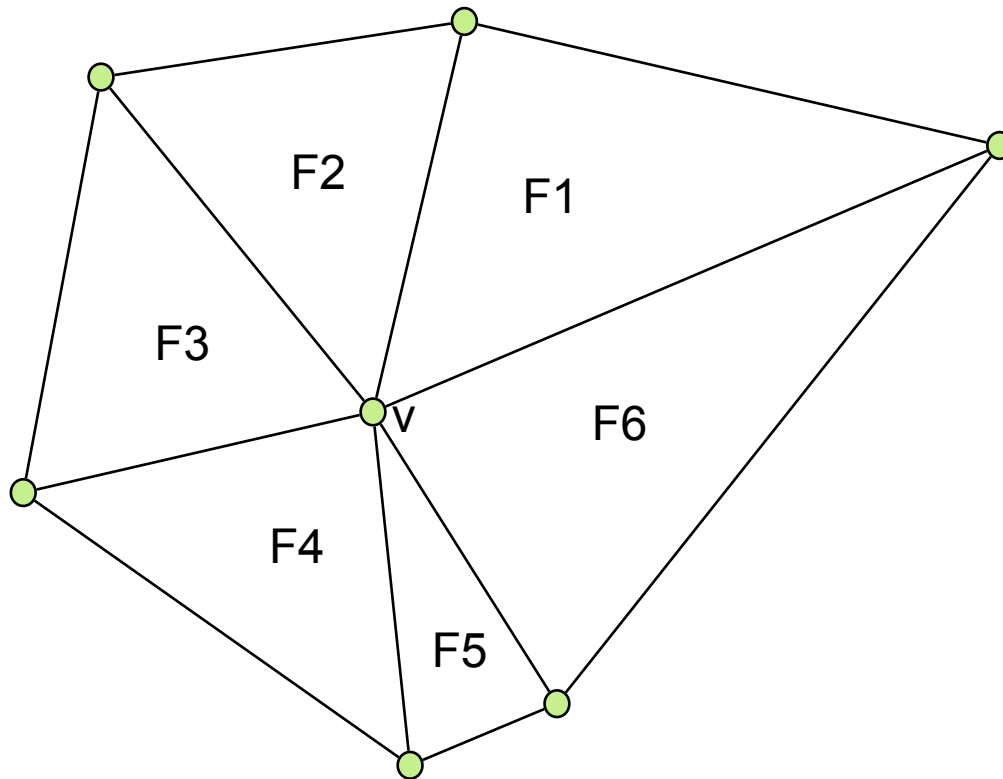


Berechnung geometrischer Größen

- Knotennormale
- gemittelte Normale aus inzidenten Facetten
- mehrere Möglichkeiten
 - Gewichte alle gleich
 - Gewichte durch Winkel
 - Gewichte durch Dreiecksfläche (ergibt Volumengradienten!)

Berechnung geometrischer Größen

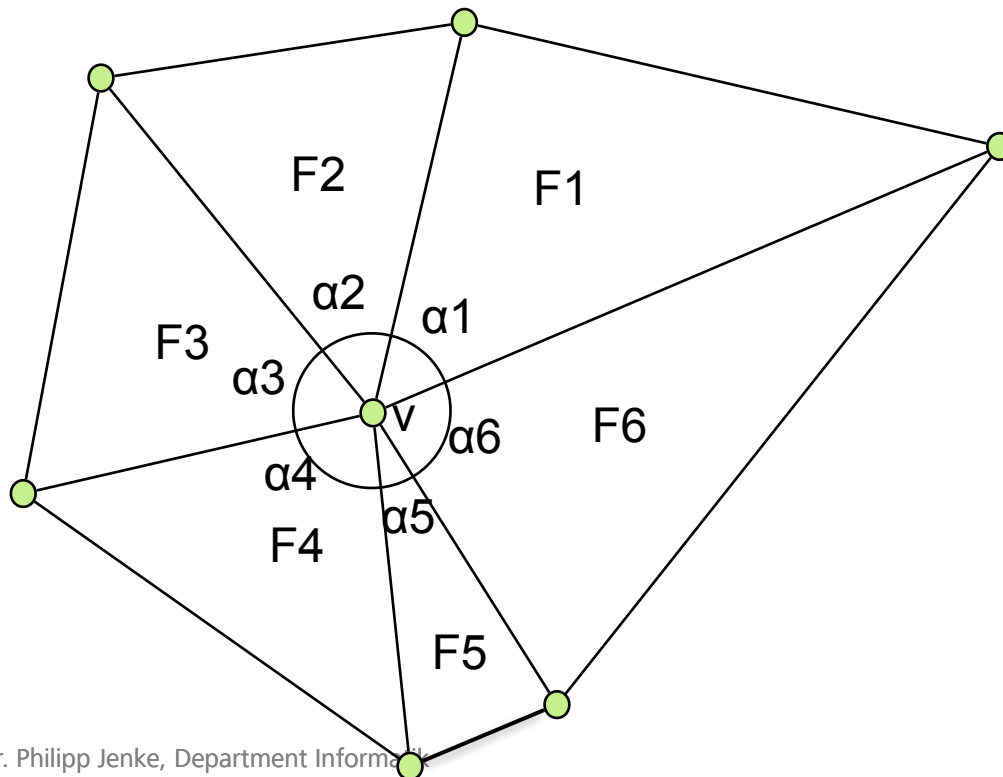
- Knotennormale: konstantes Gewicht
 - Normale der inzidenten Facette i: \vec{n}_i
 - $\deg(v) = N$



$$\vec{n} \propto \sum_{i=1}^N \vec{n}_i$$

Berechnung geometrischer Größen

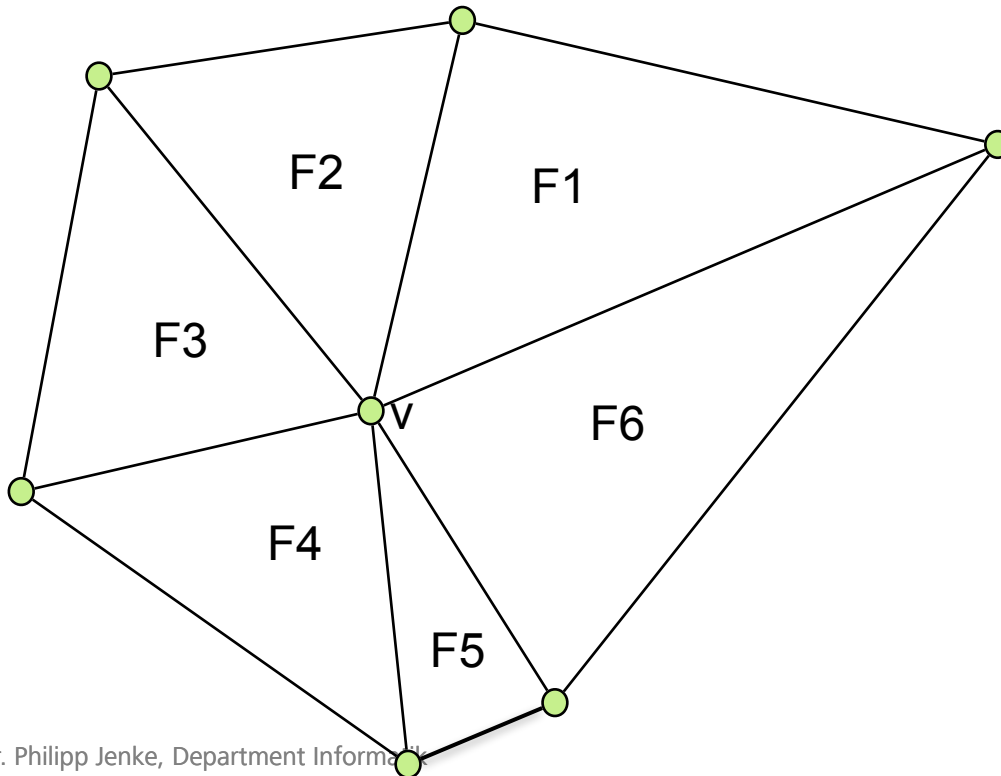
- Knotennormale: Winkel als Gewicht
 - Normale der inzidenten Facette i : \vec{n}_i
 - Winkel an der Facette i : α_i
 - $\deg(v) = N$



$$\vec{n} \propto \sum_{i=1}^N \alpha_i \vec{n}_i$$

Berechnung geometrischer Größen

- Knotennormale: Fläche als Gewicht
 - Normale der inzidenten Facette i: \vec{n}_i
 - Fläche der Facette i: A_i
 - $\deg(v) = N$



$$\vec{n} \propto \sum_{i=1}^N A_i \vec{n}_i$$

Übung: Vertexnormale

- Berechnen Sie eine Vertexnormale n .
- gegeben sind die Normalen der 5 inzidenten Facetten.
- verwenden Sie konstante Gewichtung.

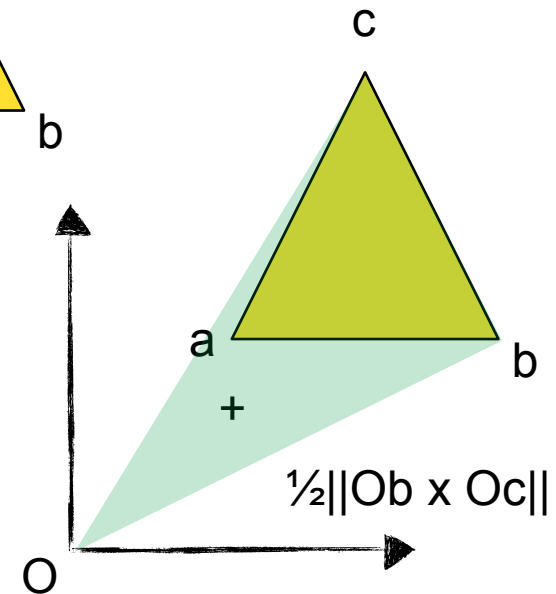
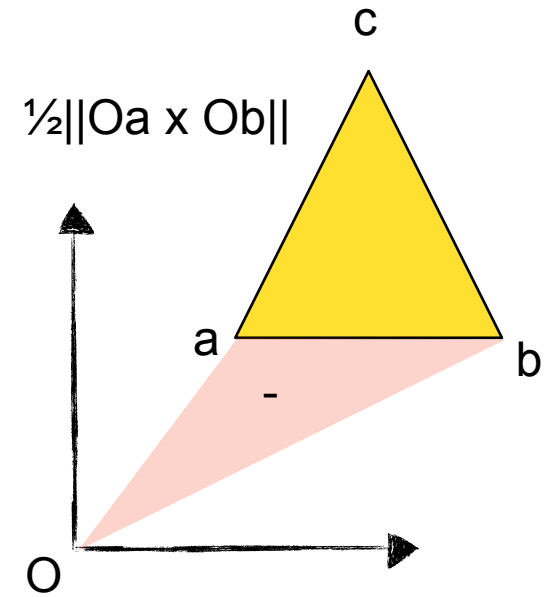
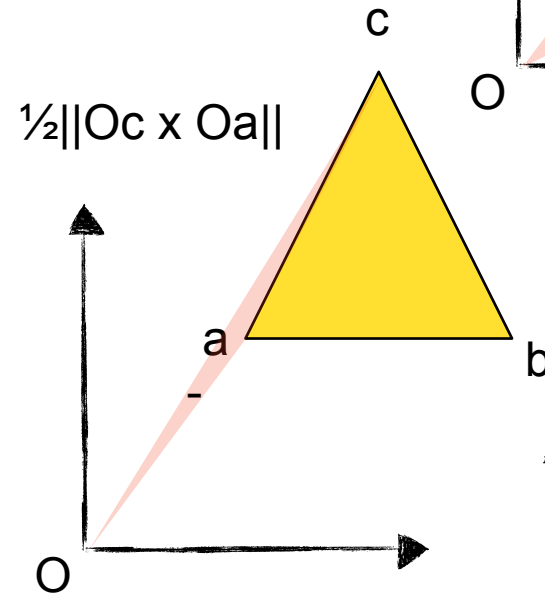
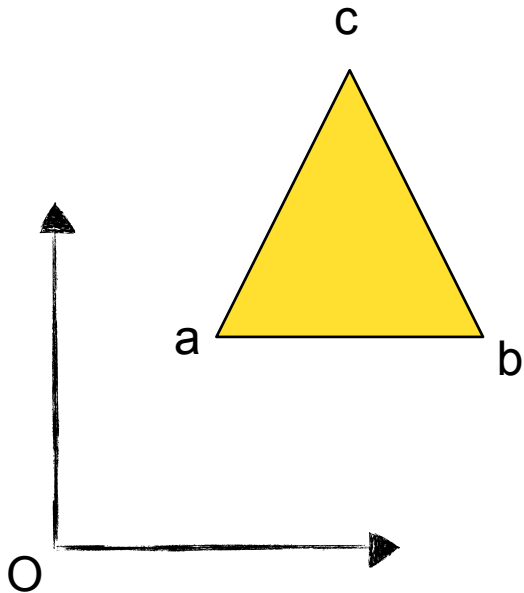
$$\begin{pmatrix} 0.5 \\ 1 \\ 2 \end{pmatrix}, \begin{pmatrix} 1.5 \\ -0.5 \\ 1 \end{pmatrix}, \begin{pmatrix} 1 \\ 0.5 \\ 2.5 \end{pmatrix}, \begin{pmatrix} 1 \\ -2.5 \\ 1.5 \end{pmatrix}, \begin{pmatrix} 2 \\ 1.5 \\ 1 \end{pmatrix}$$



Volumen

zunächst im 2D

- Idee: Berechnung über Kreuzprodukt



Volumen des umschlossenen Körpers

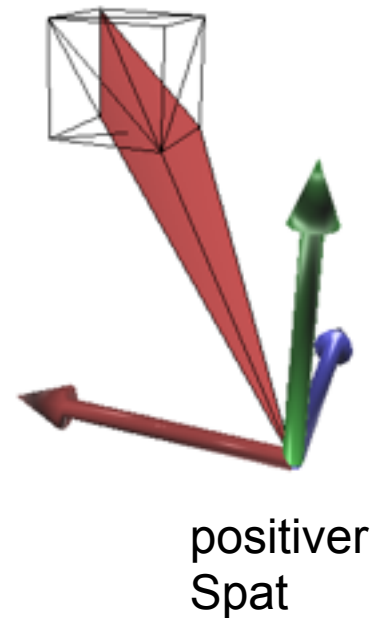
- geschlossene Flächen
- Volumen = 1/6 der Summe der Spatprodukte über alle Dreiecksknoten

Dreieck (i,j,k)

$$V = \frac{1}{6} \left| \sum_{(i,j,k) \in T} \underline{p}_i \cdot (\underline{p}_j \times \underline{p}_k) \right| = \frac{1}{6} \left| \sum_{(i,j,k) \in T} \det(\underline{p}_i, \underline{p}_j, \underline{p}_k) \right|$$

Summe über alle Dreiecke

negativer Spat

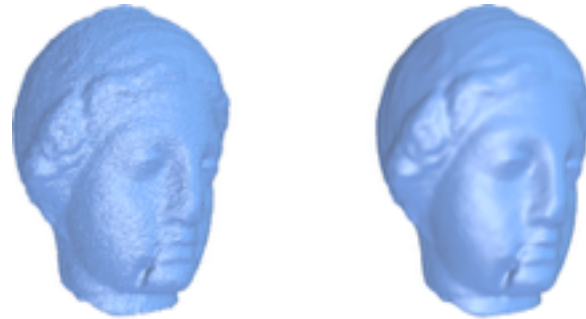




Glättung

Glättung/Entrauschen

- viele Datensätze sind verrauscht
 - z.B. durch Aufnahme mit 3D Scanner
- Entrauschen/Glättung notwendig
- Idee
 - Projektion auf ein glattes Oberflächenstück
 - z.B. Ebene oder Kugel

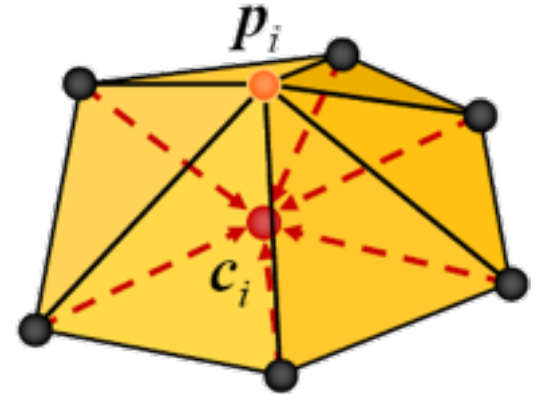


Datensatz mit Rauschen
(links), Glättung (rechts)
[2]

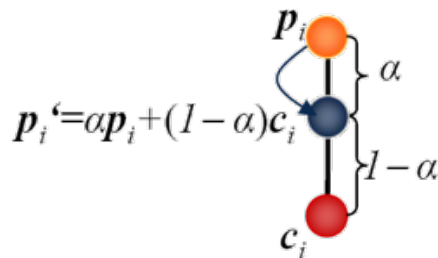
Laplace-Glättung

- Bewege jeden Vertex auf den Schwerpunkt seiner Nachbarvertices
- Algorithmus
 - betrachte jeden Vertex p_i
 - berechne Schwerpunkt c_i der Nachbarn

$$c_i = \frac{1}{|N(p_i)|} \sum_{p_j \in N(p_i)} p_j$$



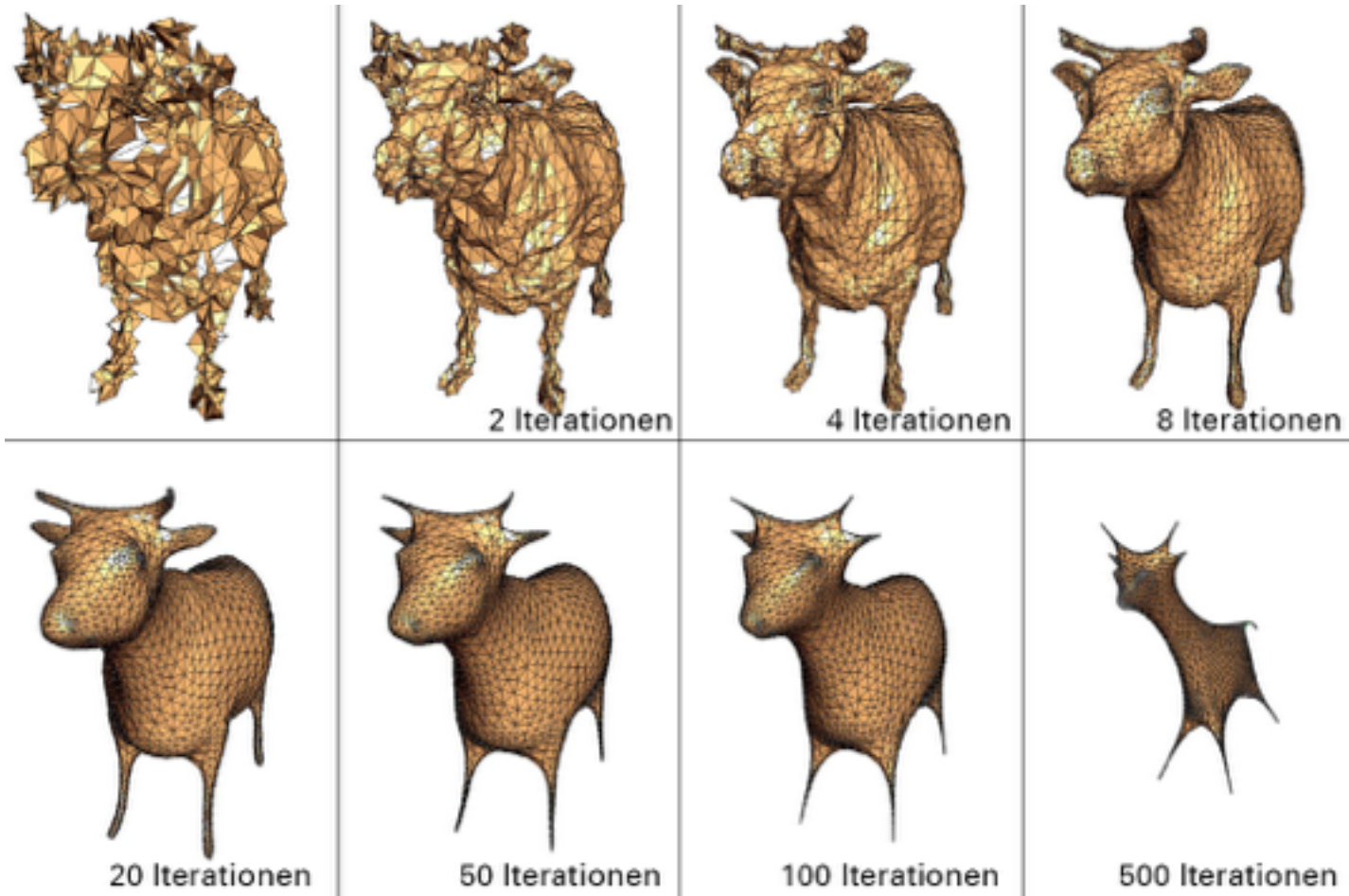
- bewege p_i in Richtung c_i (z.B. 50%, dann ist $\alpha = 0.5$)



- [Hinweis: erst alle c_i berechnen (Zwischenspeichern), dann alle p_i bewegen.]

Algorithmen: Glättung

- $\alpha = 0.3$





Nachbarschafts- Datenstrukturen

Nachbarschafts-Datenstrukturen

- stellen schnelle Navigation zwischen benachbarten Netzelementen zur Verfügung

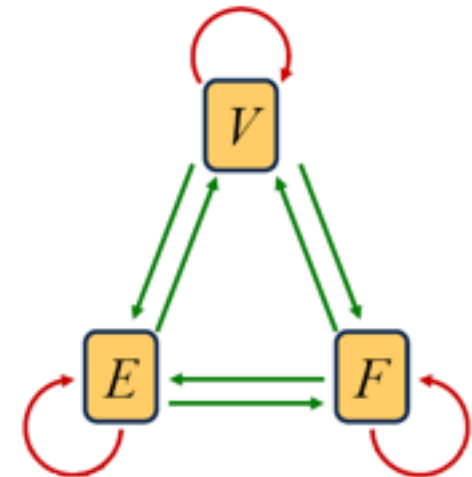
- mögliche Relationen:

- Inzidenz

$$\begin{array}{ll} v_i \rightarrow \{f_{i,j}\}_j & v_i \rightarrow \{e_{i,j}\}_j \\ e_i \rightarrow (v_{i,1}, v_{i,2}) & e_i \rightarrow (f_{i,1}, f_{i,2}) \\ f_i \rightarrow \{e_{i,j}\}_j & f_i \rightarrow \{v_{i,j}\}_j \end{array}$$

- Adjazenz

$$\begin{array}{ll} v_i \rightarrow \{v_{i,j}\}_j & f_i \rightarrow \{f_{i,j}\}_j \\ e_i \xrightarrow{v} \{e_{i,j}\}_j & e_i \xrightarrow{f} \{e_{i,j}\}_j \end{array}$$



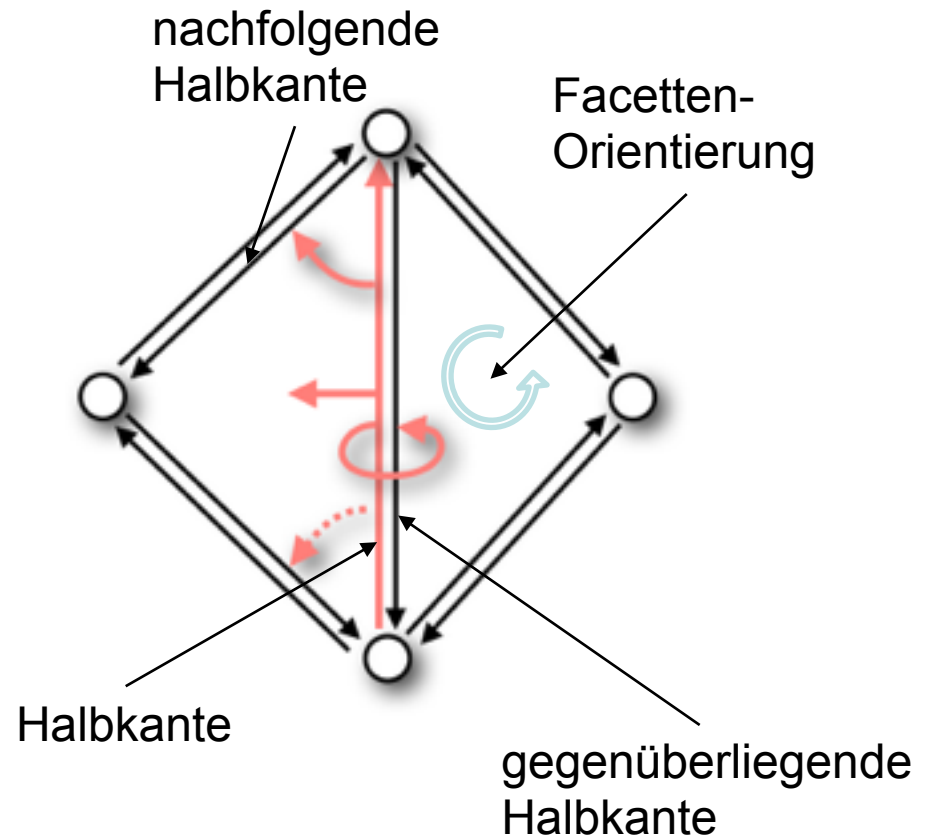
- meist Beschränkung auf wohlgeformte Netze
- Speichern aller Relationen ist teuer, vor allem auch in dynamischen Updates

Sparmaßnahmen

- Berechnung von Relationen durch wenige gespeicherte Relationen
- teilweise Speicherung mit berechenbarer Vervollständigung
- Sortierung der Netzelemente so, dass manche Relationen berechenbar werden

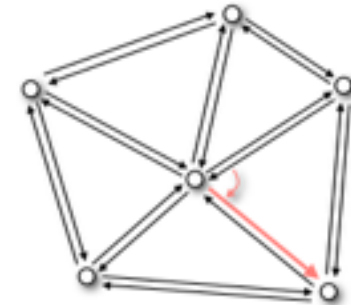
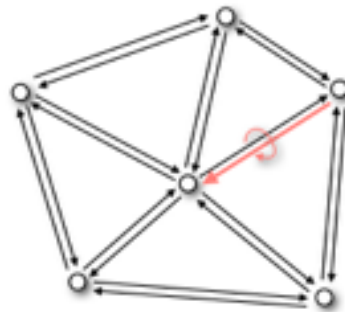
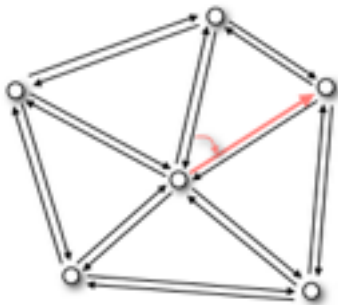
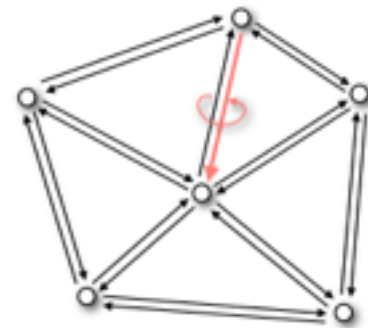
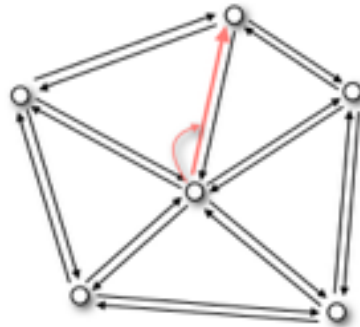
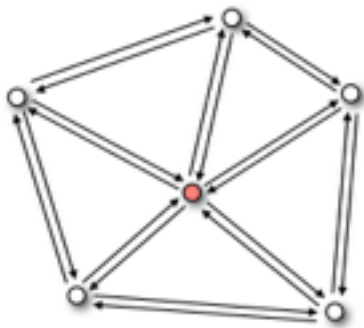
Halbkanten-Datenstruktur

- Halbkanten Datenstruktur
- pro Vertex
 - Position
 - eine Halbkante
- pro Halbkante
 - ein Vertex
 - gegenüberliegende Halbkante
 - nachfolgende Halbkante
 - zugehörige Facette
- pro Facette
 - eine Halbkante



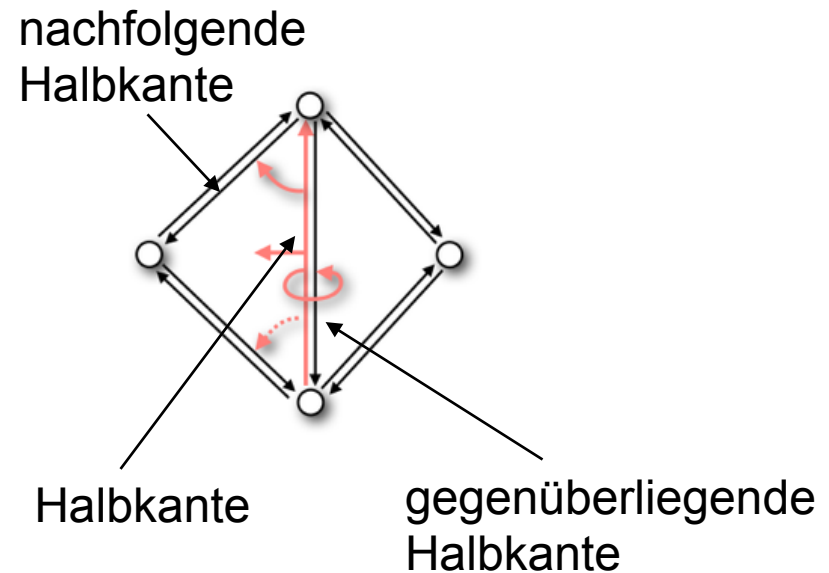
Anwendung: Anliegende Halbkanten

- Finden aller anliegenden Halbkanten



Übung: Adjazente Vertices

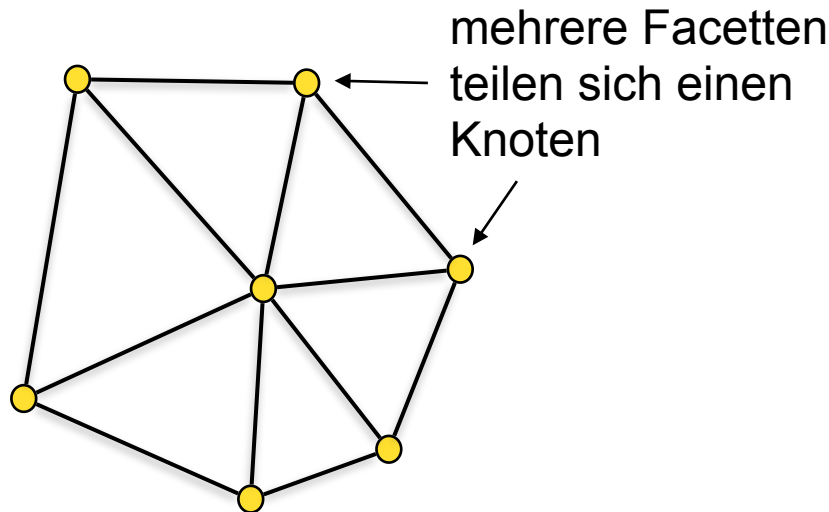
- Geben Sie Pseudocode an, um bei einem polygonalen Netz in Halbkantendarstellung für einen Vertex v alle adjazenten Vertices zu finden.
- Halbkanten Datenstruktur
 - pro Vertex
 - Position
 - eine Halbkante
 - pro Halbkante
 - ein Vertex
 - gegenüberliegende Halbkante
 - nachfolgende Halbkante
 - zugehörige Facette
 - pro Facette
 - eine Halbkante



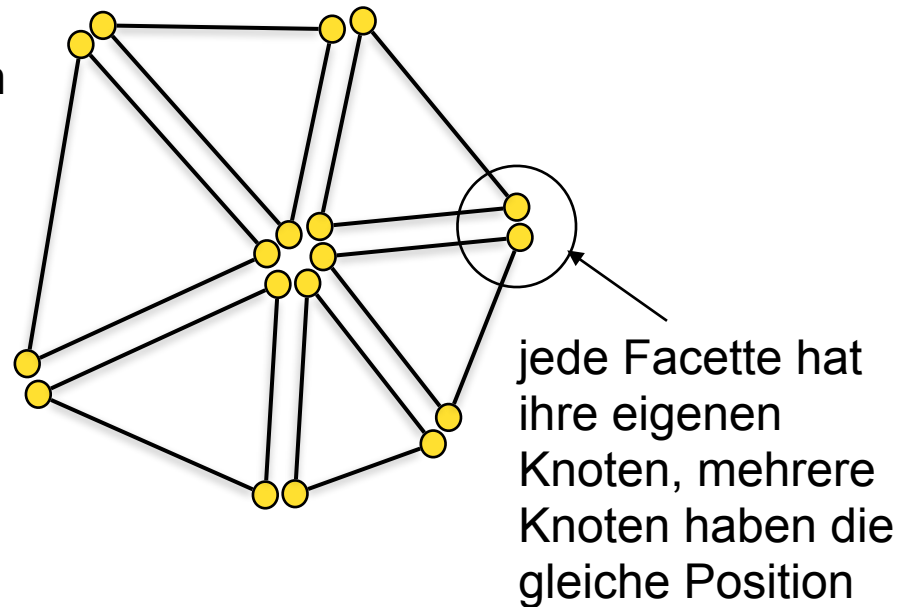
Geschlossene Netze

- polygonale Netze können unterschiedlich eng verbunden sein
- man unterscheidet:

Geschlossenes Dreiecksnetz



Dreieckssuppe

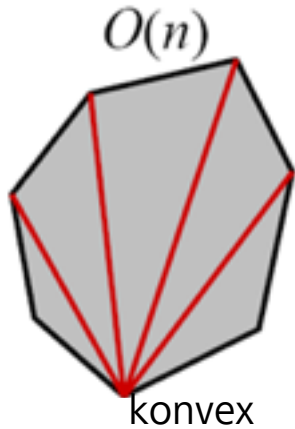


bei der Darstellung (z.B. mit OpenGL) ist der Unterschied nicht zu erkennen

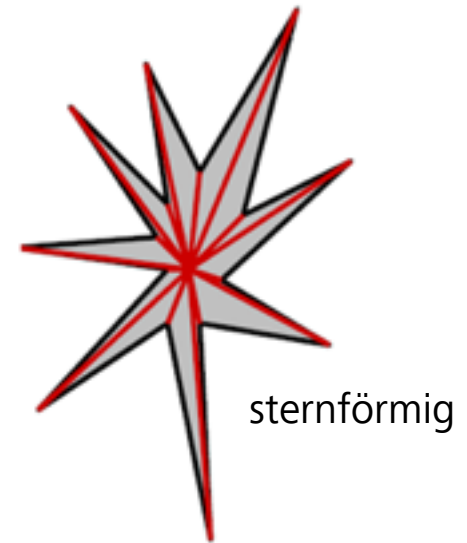
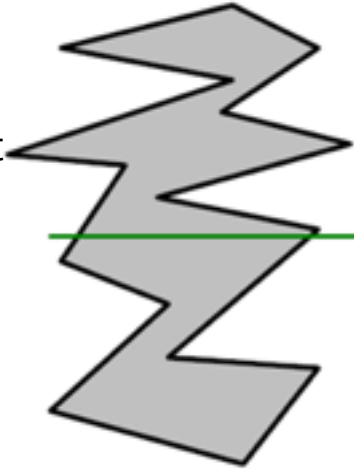


Triangulierung

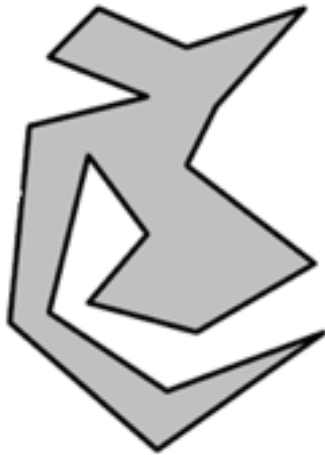
Klassifikation von Polygonen



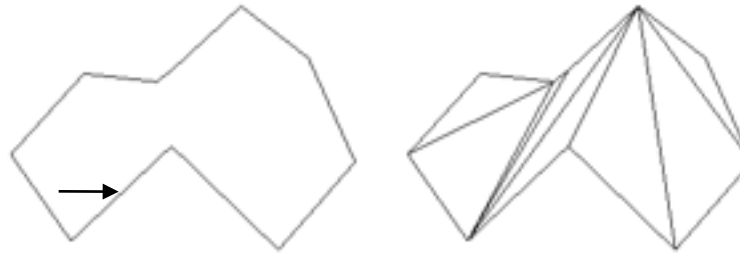
y-monoton:
der Schnitt mit
jeder zur y-
Achse
orthogonalen
Gerade ist
zusammen-
hängend



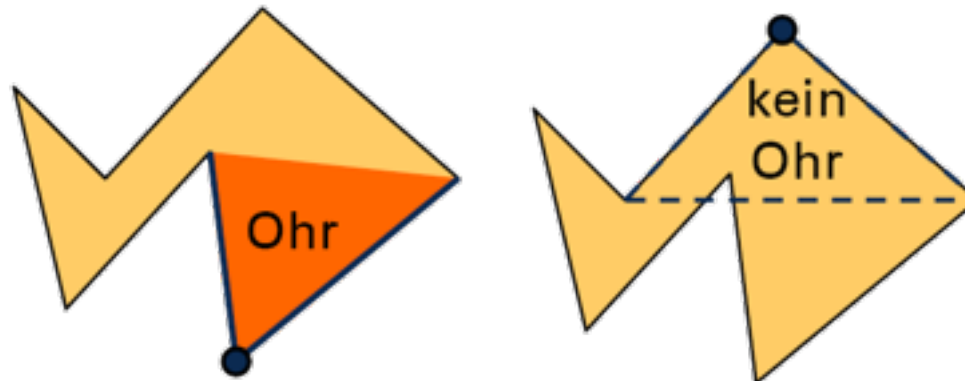
einfach: eine
Schleife, wobei sich
in jedem Knoten
genau zwei Kanten
schneiden und alle
Kantenschnitt-
punkte sind Knoten



Ear-Cutting Algorithmus

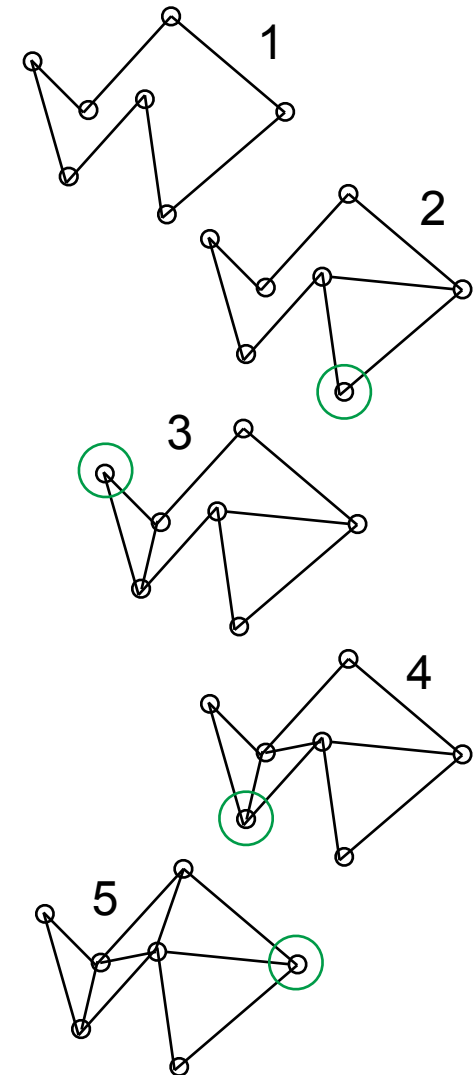
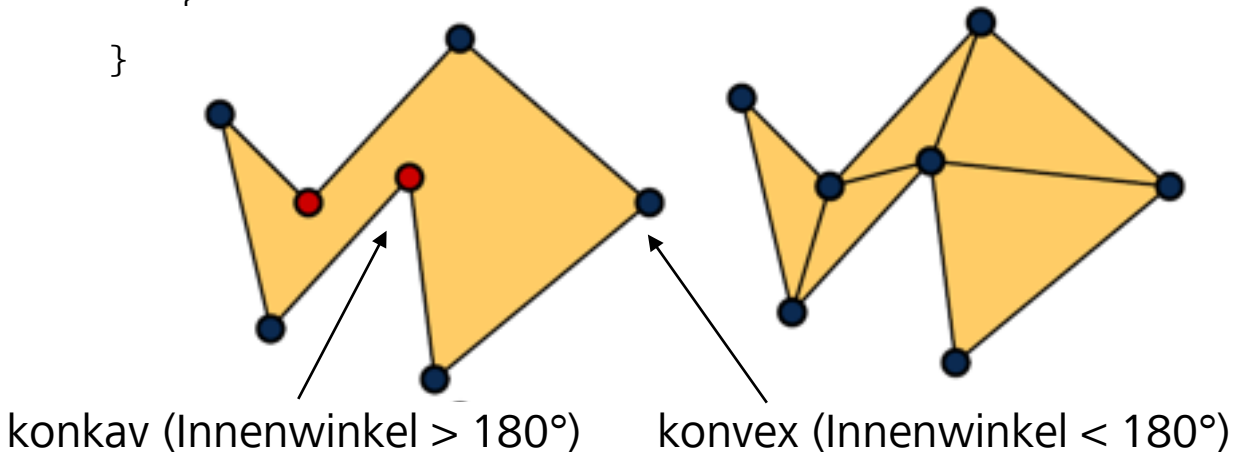


- Algorithmus zur Triangulierung von einfachen Polygonen
- ein Ohr ist eine konvexe Polygonecke, in der keine weiteren Knoten liegen
- bis auf Dreiecke haben alle einfachen Polygone mindestens zwei Ohren
- ist eine Ecke kein Ohr, so liegt wenigstens ein konkaver Knoten in der Ecke



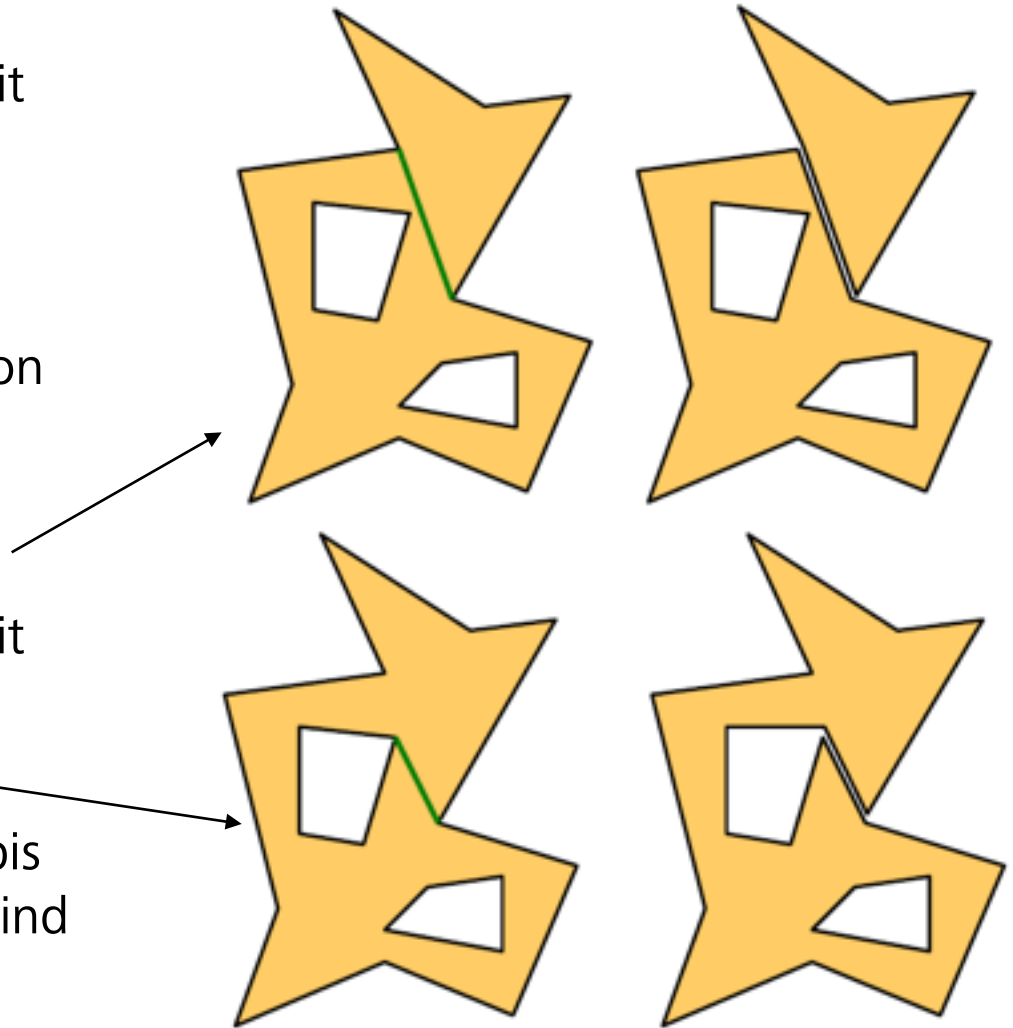
Ear-Cutting Algorithmus

```
klassifiziere alle Knoten in konvex  
    oder konkav;  
wiederhole n-3 mal {  
    iteriere über alle konvexen Knoten {  
        prüfe, ob Ecke des Knotens ein Ohr  
        ist (nur gegen konkave Knoten  
        testen); wenn ja, schneide Ohr ab,  
        klassifiziere benachbarte Knoten  
        neu und breche innere Iteration ab;  
    }  
}
```



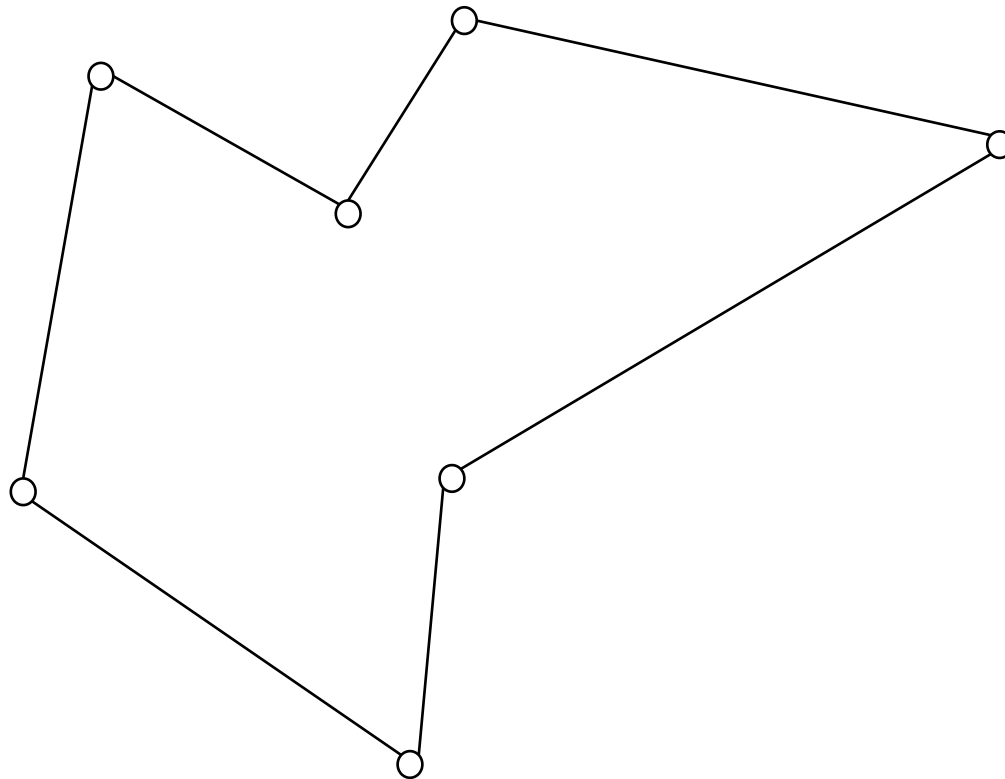
Triangulierung von Polygonen

- Satz
 - jedes einfache Polygon mit Löchern kann trianguliert werden
- Beweisidee
 - in jedem einfachen Polygon (mit Löchern) gibt es eine innere Diagonale, die
 - das Polygon in zwei einfache Polygone (mit Löchern) zerteilt oder
 - ein Loch eliminiert
 - zerlege Polygon rekursiv bis nur noch Dreiecke übrig sind



Übung: Triangulierung

- Triangulieren Sie das folgende Polygon mit dem Ear-Cutting-Algorithmus

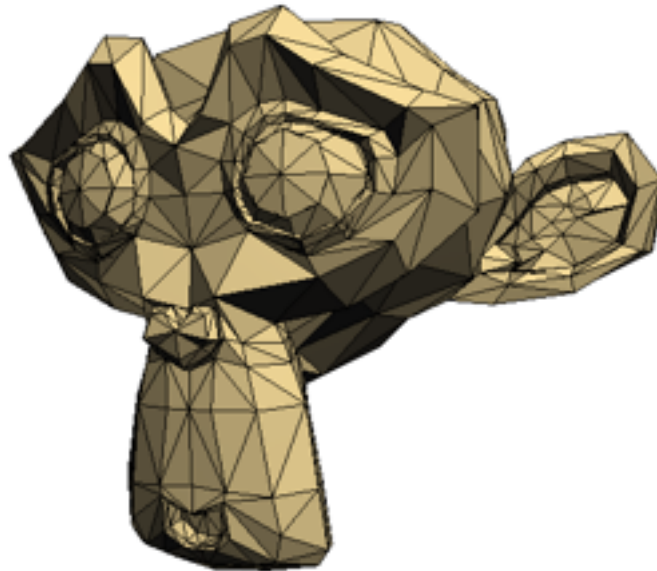




Subdivision

Ziel

- Verfeinern von (groben) Oberflächen
 - zur Darstellung
 - zur Manipulation



Suzanne, a primitive in the 3D modelling program Blender.

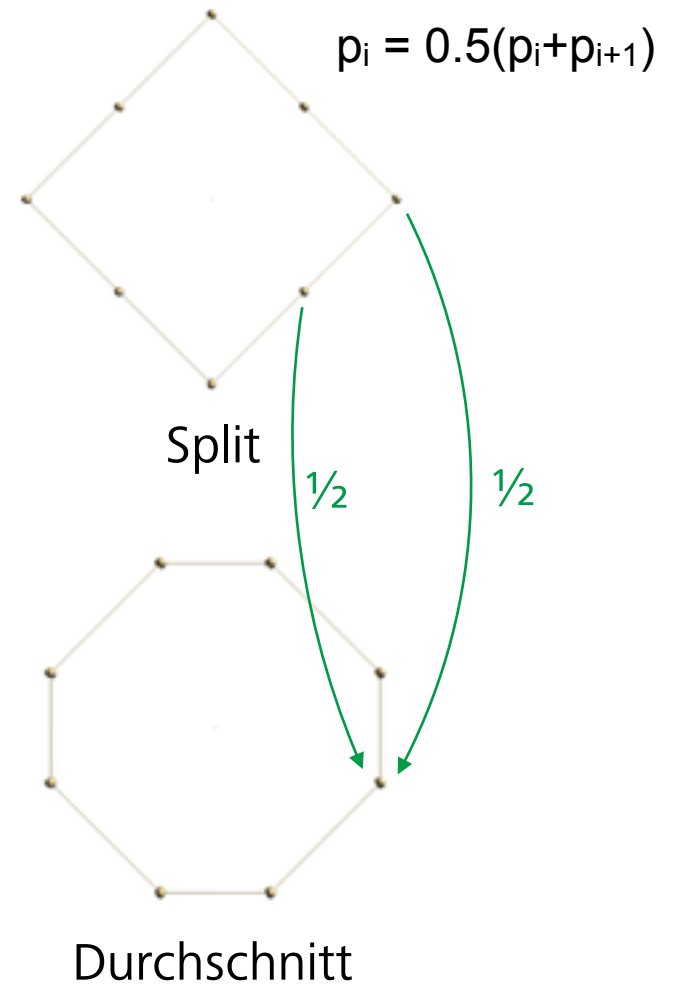
2D Subdivision: Split + Durchschnitt

- Idee (Zweischrittverfahren):
 - Unterteilung (Verfeinerung)
 - Durchschnittsberechnung (Glättung)



Ausgangspolygon

Verfahren: Corner-Cutting,
Chaikin, 1974



2D Subdivision

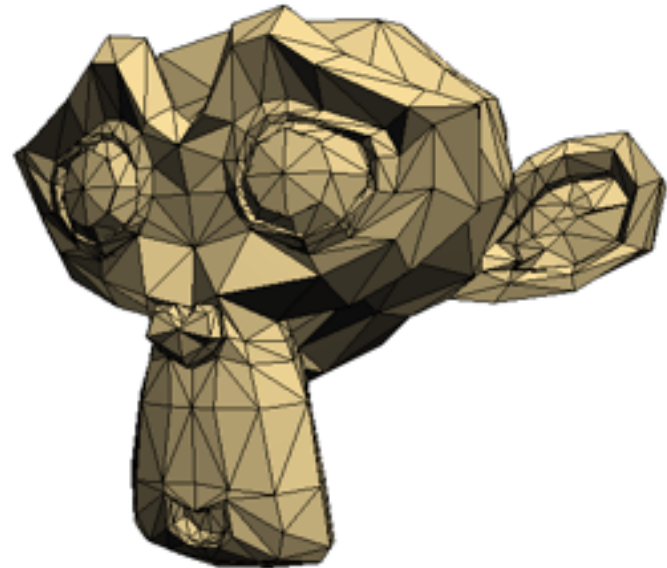
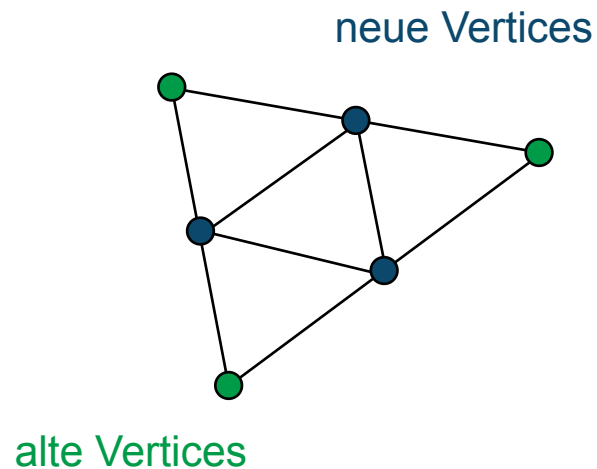
- Schrittweise Wiederholung der beiden Schritte (Split + Durchschnitt = Subdivision)



- Subdivision-Surface konvergiert gegen glatte Zielfläche
 - anders als Laplace-Glättung
 - Zielfläche kann berechnet werden
- Modellierung
 - Bewegung der Kontrollpunkte im Original-Mesh

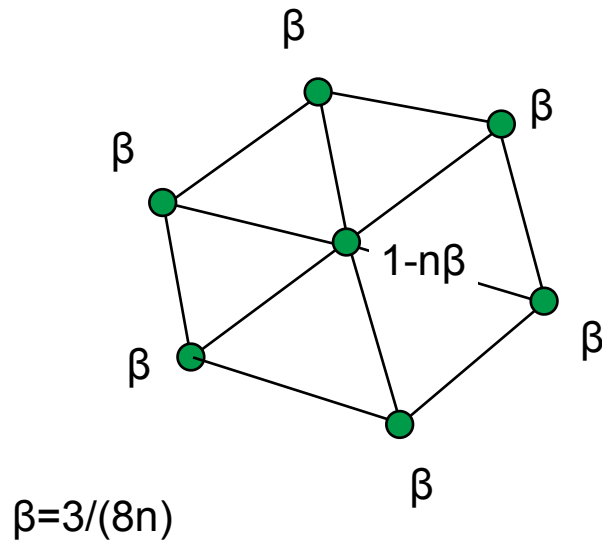
3D Subdivision

- wieder Zweischnitt-Verfahren
- Schritt 1: Dreiecke unterteilen $1 \rightarrow 4$
 - neuer Vertex auf jeder Kantenmitte

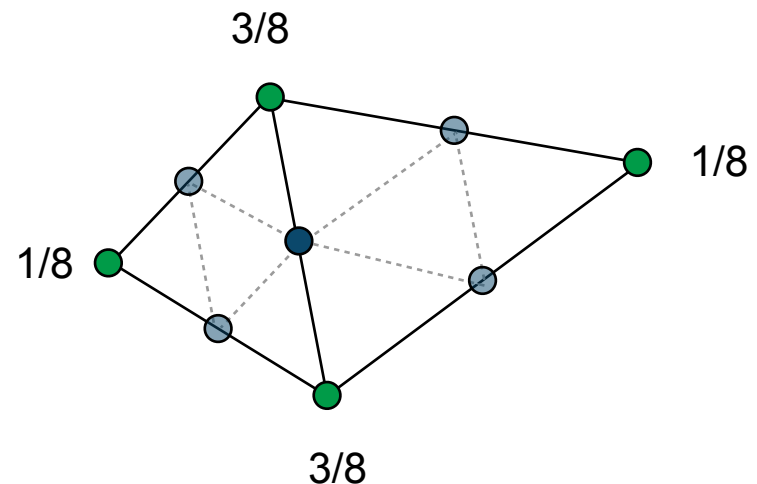


3D Subdivision

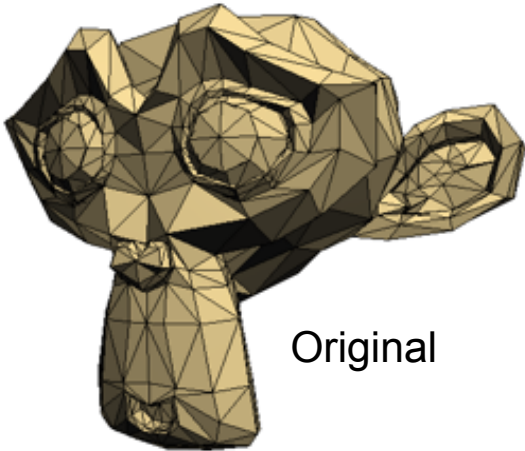
- Schritt 2: Vertices verschieben
 - verschiedene Verfahren
 - hier: Loop-Schema
- alte Vertices
 - betrachte alte Nachbarschaft



- neue Vertices
 - alte Vertices des anliegenden alten Dreiecke



3D Subdivision



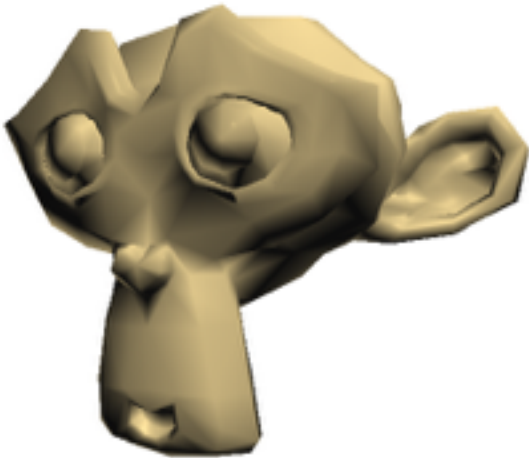
Original



ein Schritt

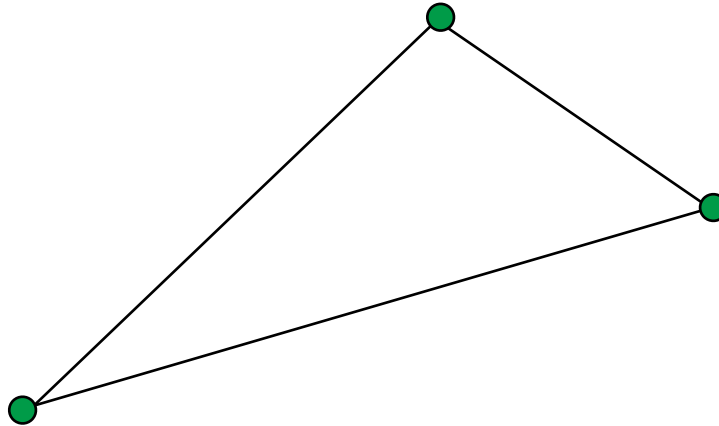


zwei Schritte



Übung: Subdivision

- Führen Sie zwei Corner-Cutting-Schritte für das folgende Polygon durch





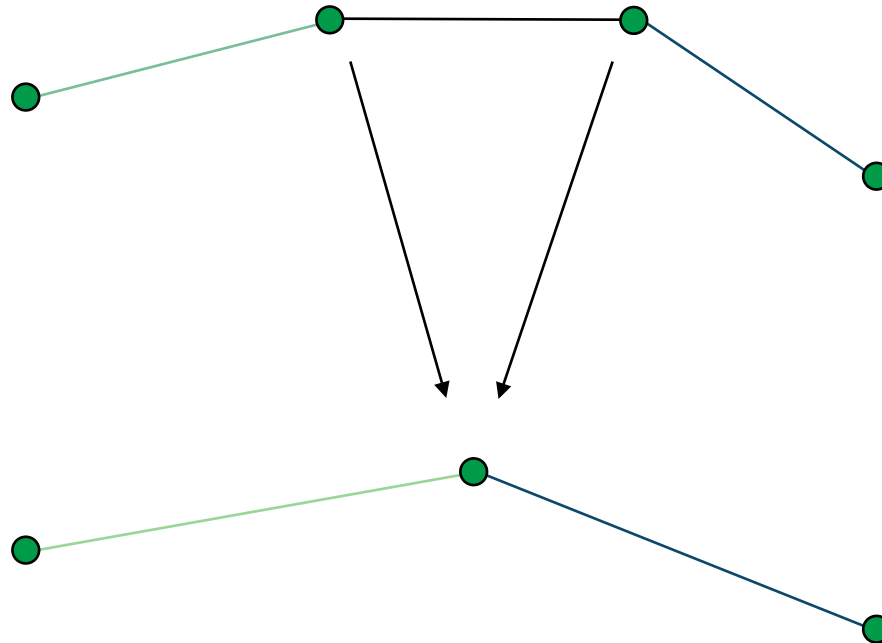
Vereinfachung

Vereinfachung

- einfache Netze häufig benötigt
 - Datenübertragung
 - Level-of-Detail
 - ...
- Idee:
 - Entferne Detail (Vertices, Dreiecke) aus einem Mesh, um es zu komprimieren
 - Oberfläche des Meshes soll sich dabei möglichst wenig ändern (visuell, Volumen, Innen vs. Außen, ...)
- Es gibt viele Ansätze, wir betrachten:
 - Fehlerquadriken (Garland, Heckbert, 1997)

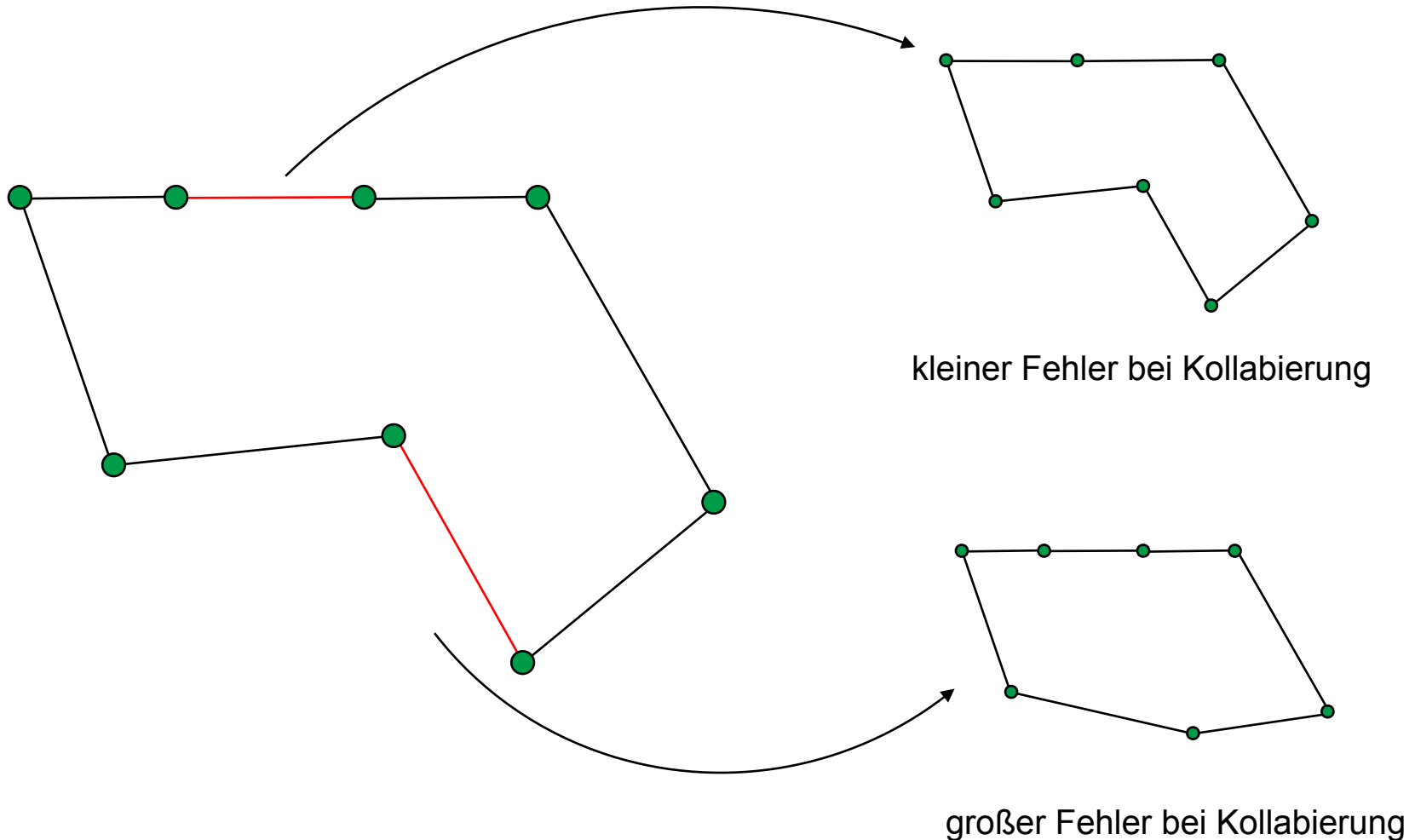
Kantenkollabierung

- Kante wird kollabiert (entfernt)
- Vertices der Kante werden verschmolzen



Fehlerquadriken

- In welcher Reihenfolge sollten die Kanten kollabiert werden?



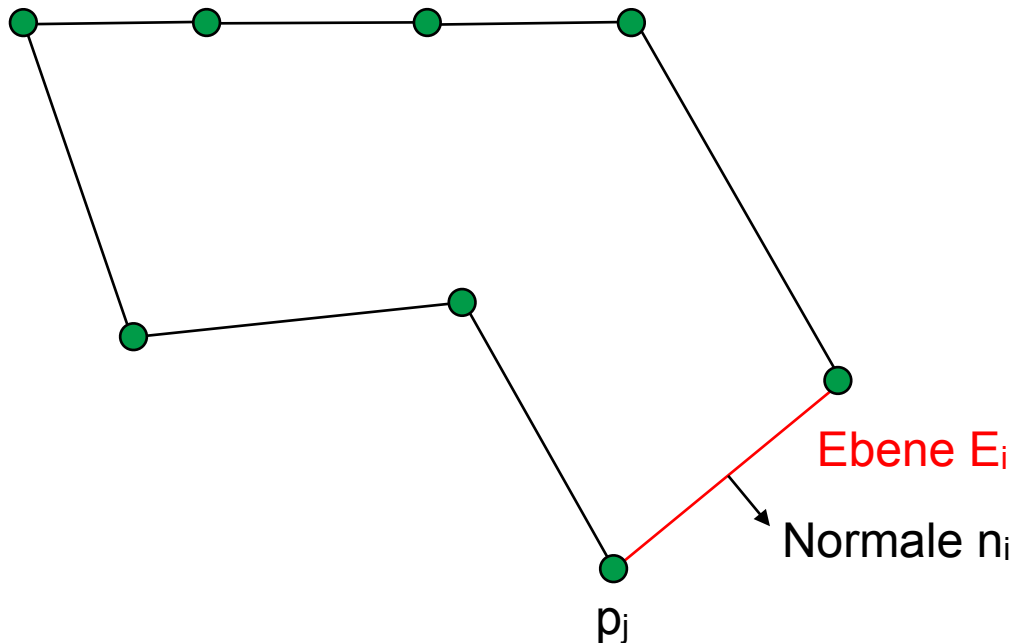
Fehlerabschätzung

- Konstruiere Ebene E_i für jedes Dreieck/Segment i

Quadratischer Abstand Punkt x zu Ebene E_i :

$$\text{dist}^2(x, E_i) = (n_i x - n_i p_j)^2$$

Hesse-Normal-Form
(HNF) der Ebene



Fehlerabschätzung Dreiecke/Segmente

- Quadratischer Abstand Punkt x zu Ebene E_i :

$$\text{dist}^2(x, E_i) = (n_i^T x - n_i^T p_j)^2$$

- Trick: Verwenden homogener Koordinaten $((x,y,z) \rightarrow (x,y,z,w))$:

$$\bar{x} = (x, 1) \quad \bar{n} = (n, -n_i^T p_j)$$

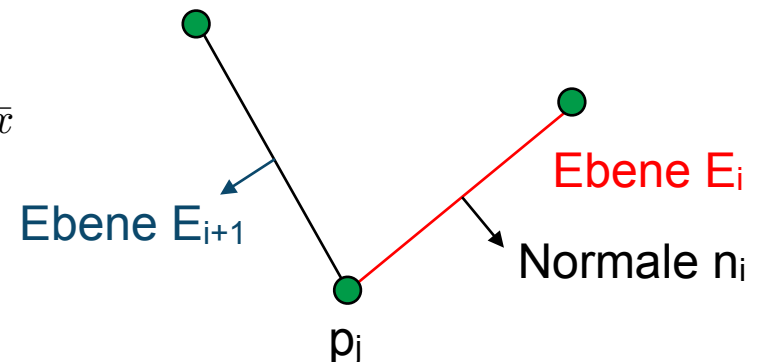
- damit vereinfacht sich die Entfernungsberechnung zu

$$\text{dist}^2(x, E_i) = (\bar{n}_i^T \bar{x})^2 = \bar{x}^T \bar{n}_i \bar{n}_i^T \bar{x} = \bar{x}^T Q_i \bar{x}$$

inneres Produkt!
Vektor * Vektor^T = Matrix

- die Matrix $Q_i = \bar{n}_i \bar{n}_i^T$ wird für alle Dreiecke/Kanten bestimmt
- damit ergibt sich eine Fehlermatrix für jeden Vertex durch Aufsummieren der Q_i der inzidenten Dreiecke/Kanten:

$$E_j(x) = \sum_{i \in N(j)} \bar{x}^T Q_i \bar{x} = \bar{x}^T \left(\sum_{i \in N(j)} Q_i \right) \bar{x} = \bar{x}^T Q \bar{x}$$



Fehlerabschätzung Kanten

- Fehlerberechnung pro Vertex

$$E_j(x) = \sum_{i \in N(j)} \bar{x}^T Q_i \bar{x} = \bar{x}^T \left(\sum_{i \in N(j)} Q_i \right) \bar{x} = \bar{x}^T Q \bar{x}$$

- Fehlerquadrik pro Kante $e_{(j,k)}$ (von p_j nach p_k):

$$Q_{e_{j,k}} = Q_j + Q_k$$

- Aber was bedeutet das? Wo ist der Fehler am kleinsten?

Optimale Vertex-Position

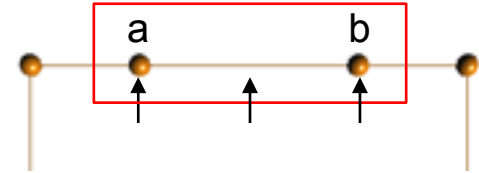
- Die optimale Vertexposition minimiert den Fehler, man muss also die Ableitung der Fehlerfunktion $xQx = 0$ setzen.
- durch Umstellung ergibt sich, dass man dazu folgendes Gleichungssystem lösen muss:

$$\bar{Q}_{j,k} \cdot (v^{neu}, 1) = \begin{pmatrix} 0 \\ 0 \\ 0 \\ 1 \end{pmatrix} \text{ also } (v^{neu}, 1) = \bar{Q}_{j,k}^{-1} \cdot \begin{pmatrix} 0 \\ 0 \\ 0 \\ 1 \end{pmatrix}$$

- $\bar{Q}_{j,k}$ ergibt sich aus $Q_{j,k}$ durch Ersetzen der letzten Zeile durch $(0,0,0,1)$

Optimale Vertex-Position - Ausnahme

- Was, wenn $\bar{Q}_{j,k}$ nicht invertierbar ist (Determinante = 0)?
 - tritt auf, wenn alle Dreieck-Segment-Ebenen die gleiche Normale haben



- Suche optimale Position auf Kante
 - Punkt v muss auf der Strecke a - b liegen, also
 - finde Minimum des Fehlers (Ableitung nach $\lambda = 0$ setzen):

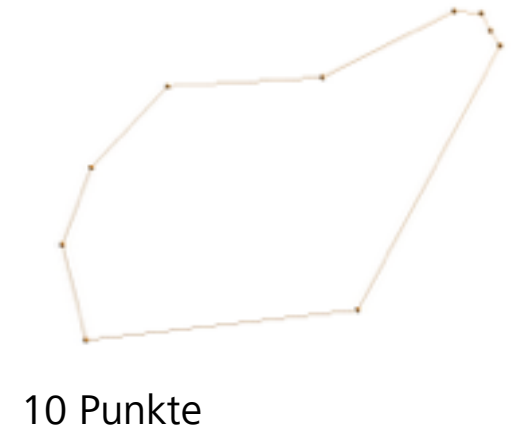
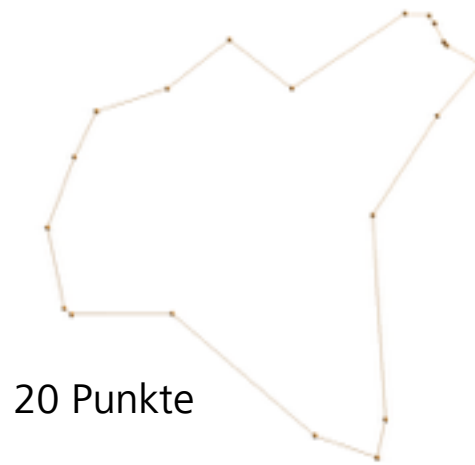
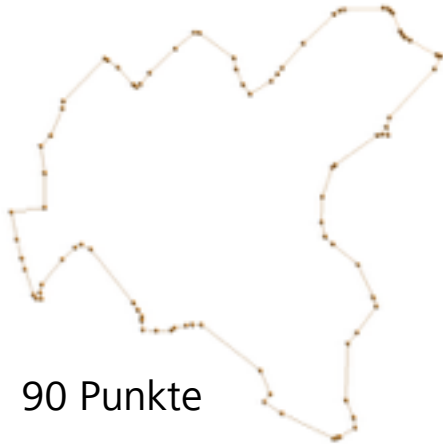
$$v^T Q_{e_{j,k}} v \rightarrow \min \quad v = (1 - \lambda)a + \lambda b$$

- falls das auch nicht klappt:
 - Verwende optimale Position aus Menge $\{p_j, p_k, (p_j+p_k)/2\}$

Iteratives Vereinfachen

- Welche Kante wählt man zunächst aus?
 - diejenige, für die $v_{neu,j,k}^T Q_{e_{j,k}} v_{neu,j,k}$ am kleinsten ist
- Was muss man dann aktualisieren?
 - der neue Vertex $v_{neu,j,k}$ bekommt die Fehlerquadrik $Q_{e_{j,k}}$ der Kante aus der er entstanden ist
 - damit aktualisieren sich die Fehlerquadriken der anliegenden Kanten

Ergebnisse (Land Hamburg)



Zusammenfassung

berechne Fehlerquadriken für alle Dreiecke/Segmente

berechne daraus die Fehlerquadriken für alle Vertices

berechne daraus die Fehlerquadriken für alle Kanten

solange Vereinfachung nicht grob genug

wähle Kante mit kleinstem Fehler $v_{neu,j,k}^T Q_{e_{j,k}} v_{neu,j,k}$
beim Kollabieren

kollabiere Kante

weise neuem Vertex die Fehlerquadrik der Kante zu

aktualisiere Fehlerquadriken für anliegende Kanten

Zusammenfassung

- Einführung
- Normalen
- Volumen
- Glättung
- Nachbarschaftsdatenstrukturen
- Triangulierung von Polygonen
- Subdivision
- Vereinfachung
- Zusammenfassung

Quellen

- Die Folien basieren teilweise auf den Vorlesungsfolien von Prof. Dr. Stefan Gumhold (Technische Universität Dresden), Prof. Wolfgang Straßer (emeritiert, Universität Tübingen), Prof. Hao Li (University of Southern California USC)
- [1] Mario Botsch, Leif Kobbelt, Mark Pauly, Pierre Alliez, Bruno Levi: Polygon Mesh Processing, A. K. Peters, 2010
- [2] B. Mederos, L. Velho, L. H. de Figueiredo: Smooth surface reconstruction from noisy clouds, in: J. Braz. Comp. Soc. vol.9 no. 3 Campinas Apr. 2004
- Corner Cutting: Chaikin, G. An algorithm for high speed curve generation. Computer Graphics and Image Processing 3 (1974), 346–349.
- Loop-Schema: Charles Loop: Smooth Subdivision Surfaces Based on Triangles, M.S. Mathematics thesis, University of Utah, 1987
- Fehlerquadriken: M. Garland and P. Heckbert. Surface Simplification Using Quadric Error Metrics. In Proceedings of SIGGRAPH' 97